

学术交流讲习班  
Workshop

高分子材料科学计算机模拟  
Computer Simulations in Polymer Material Science

**主办单位**

中国化学会高分子委员会  
中国自然科学基金委员会  
中国科学院化学研究所  
四川联合大学

**Organized by**

Polymer Division, Chinese Chemical Society  
The National Natural Science Foundation of China  
Institute of Chemistry, Academia Sinica  
Sichuan Union University

**赞助单位**

美国 MSI 分子模拟软件公司

**Sponsored by**

Molecular Simulation Incorporation, USA

1997 年 5 月  
四川成都

# 高分子材料科学计算机模拟

1997年5月10日-12日  
四川成都

# “高分子材料科学计算机模拟”讲习班

## 大会

主席 杨小震  
副主席 吴大诚 杨玉良 李 勇

## 学术委员会

主席	S.L.Hsu					
副主席	赵得禄	黄 眇	田安民			
委员	白露娜	古大治	何天白	S.L.Hsu	胡汉杰	黄 眇
	金熹高	李 勇	孙 淮	孙泽民	施友东	田安民
	王俊景	吴大诚	吴立衡	徐 懋	颜德岳	阎东航
	杨小震	杨玉良	赵建军	赵得禄	周子南	周宗华

(以上按姓氏字母为序)

## 组织委员会

主席	吴大诚					
副主席	杨小震	黄 眇	孙 淮			
委员	黄 眇	李 勇	李瑞霞	孙 淮	吴大诚	杨小震
	赵建军	朱谱新				
秘书处	李瑞霞	梁阳华	赵仕余	高国蓉		

## 预印集编辑部

主编 吴大诚  
副主编 李瑞霞  
编辑 廖 琦 康 健 顾 群

# 目 录

1 开幕词 .....	金熹高(1)
2 研究高分子材料分子模拟技术的最新进展 .....	S. L. HSU(2)
3 分子力场与分子力学 .....	孙淮(35)
4 高分子链的旋转异构态模型 .....	颜德岳(36)
5 MONTE CARLO 方法在高分子物理中的应用 .....	杨玉良(37)
6 分子运动的描述方法 .....	杨小震(41)
7 聚合物溶液的模拟计算和理论研究 .....	赵得禄(45)
8 高分子反应膜压成型加工的计算机建模 .....	何天白(47)
9 分形·逾透·高分子物理 .....	黄昀(51)
10 末端甲基化聚乙烯亚胺树状分子结构和局部构象运动的分子动力学研究 .....	田安民(54)
11 高分子物理学中的计算机实验 .....	吴大诚(58)
12 复杂流体统计力学和计算机模拟 .....	赵得禄, 李险峰, 袁学锋(63)
13 微机上的分子模拟软件 MP .....	赵亚东, 杨小震(67)
14 计算机模拟评价分离手性分子的固定相 .....	莫华, 杨小震(71)
15 分子动力学模拟研究单链高分子的玻璃化转变 .....	杨勇, 李险峰, 杨小震(73)
16 嵌段高分子单链热力学量的 MONTE CARLO 模拟 .....	焦雪松, 赵得禄, 杨小震(75)
17 分子动力学方法模拟单链聚乙烯的结晶过程 .....	陈彦, 杨小震, 徐懋(77)
18 十二个小分子的 PCFF2 力场参数的确定 .....	杨捷, 任译, 吴德印, 李泽荣, 田安民, H. SUN(80)
19 液氮的非键相互作用参数的重新确定 .....	任译, 杨捷, 田安民, H. SUN, S. J. MUMBY(82)
20 饱和氟化链烃的电荷分布及力场静电作用参数的确定 .....	吴德印, 李泽荣, 薛英, 田安民, 孙淮(84)
21 单取代氯代烷烃 PCFF 力场参数的确定 .....	李泽荣, 杨捷, 吴德印, 田安民, 孙淮(86)
22 $\text{LaNi}_4\text{Al}$ 的结构参数、单点能计算研究 .....	彭述明, 赵鹏骥, 黄泽宁, 杨茂年, 姚书久, 罗顺忠(88)
23 分子模拟技术在油田化学中的作用 .....	冯玉军(90)
24 聚氨酯酰亚胺的结构和性能的分子模拟 .....	程时远, 朱申敏, 路国红(94)
25 高分子材料非等温结晶的计算机模拟 .....	姜红, 颜德岳(97)
26 格子上随机行走尾形链和环形链的精确解 .....	廖琦, 吴大诚(100)
27 高分子环链自缠结的计算机模拟 .....	廖琦, 傅婕, 吴大诚(102)

## 祝 贺 召 开

### “高分子材料科学计算机模拟的学术交流讲习班”

计算机模拟在高分子领域的应用从六十年代至今已发展到了一个崭新的阶段。这个新阶段的特点是，计算机模拟不仅能提供定性的描述，而且能模拟出高分子材料的一些结构与性能的定量的结果；计算机模拟不再仅仅是理论物理学家手中的武器，它也已经逐步成为实验化学家与实验物理学家必不可少的工具。近年来，高分子的计算机模拟在材料科学领域的飞速发展，计算机辅助的分子设计、分子的结构与行为的“计算机试验”在工业界的广泛的使用，要求学术界在该领域深入模拟方法的发展。而广大的材料科学领域的实验科学家需要深入地了解计算机分子模拟技术的功能特征、应用范围以及使用细节等。九十年代以来，国内学术界也逐渐在这个领域形成了一支队伍，并使人感到，目前的形势要求举办一个该领域的学术交流、经验传授、技术讲座的学术活动。中国科学院化学所高分子物理开放实验室与四川联合大学在中国自然科学基金委员会、中国化学会高分子科学委员会与美国MSI分子模拟软件公司的支持下，举办的这个“高分子材料科学计算机模拟的学术交流讲习班”，其宗旨就是要推动国内高分子材料领域的计算机模拟水平的提高与发展。

我们第一次举办了这样一个学术活动，希望得到各个方面的支持，不断地办下去，越办越好！希望通过这样的活动使我国的高分子的计算机模拟的水平跻身于国际先进行列，促进我国高分子物理的学术水平与高分子材料的研制水平大幅度地提高。

高 烹 金  
中国科学院化学研究所  
高分子物理开放实验室



*University of Massachusetts at Amherst*

*Recent Development of Molecular Simulation Techniques to Study  
Polymeric Materials*

*Shaw Ling Hsu*

Polymer Science and Engineering Department  
and

National Science Foundation Materials Research Science and  
Engineering Center

University of Massachusetts  
Amherst, Massachusetts 01003

Introduction



## Areas of Research Interest

Applications of Molecular Simulation  
Techniques to Characterize  
Crystalline Structures and  
Associated Properties.

example

Application of Molecular Simulation  
Techniques to Characterize Phase  
Separated Molecular and Polymeric  
Systems

blends

Crystallization Behavior in Restricted  
Geometries

Application of the Molecular Simulation  
Technique for Clarification of the  $\alpha \leftrightarrow \beta$   
Phase Transformation in Poly(butylene  
terephthalate)

Analysis of Polymorphic Structures of Highly  
Stereoregular Syndiotactic Polystyrene

Application of the Molecular Simulation  
Technique to Calculate Structure and  
Define Deformation Mechanisms of High  
Performance Polymers

Kevlar

poster-h

(This poster is to be displayed in the hallway)



## Types of Polymer Systems Studied

- Ordered
- Disordered
- Multi-Component
  - ❖ Blends
  - ❖ Polymer/Solution
  - ❖ Interphase/Interface
  - ❖ Block/Random copolymers

3/10/94  
11/2/94

- We use calculations on *Ordered* Systems to:
  - Validate simulation algorithms
  - Compare with extensive experimental data available
  - Calculate ultimate mechanical properties
  -
- We use calculations on *Amorphous* Systems to:
  - Simulate miscibility behavior of blends
  - Predict thermal expansion coefficient
  - Predict solubility behavior of polymers
  - Predict structural dynamics

poster-h

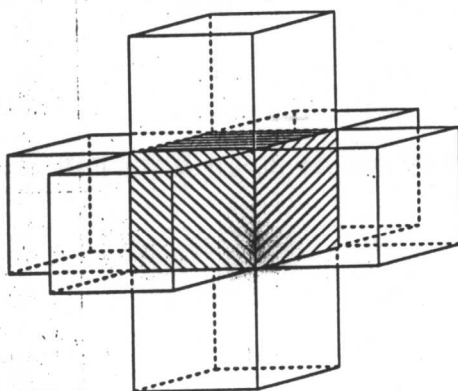
11/3/94  
Validate simulation algorithms, 8/2/94  
11/3/94 is a disordered system



Periodic Boundary Condition used in Simulating Crystalline or "Amorphous" Polymers

分子模型の構造

27 cells are considered in the simulation procedure.



poster-h

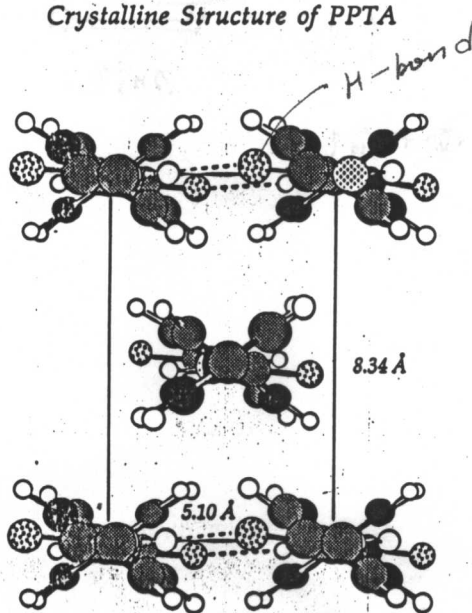


Unit cells calculated for poly(p-phenylene terephthalamide) and other model polymers

	PPTA			PBA			PE		
	calc.	obs.	error	calc.	obs.	error	calc.	obs.	error
a	8.34	7.8	6.92%	8.06	7.71	4.54%	7.21	7.42	2.83%
b	5.1	5.19	3.47%	5.13	5.14	0.19%	5.15	4.95	4.04%
c	12.98	12.9	0.60%	12.96	12.8	1.25%	2.58	2.55	1.10%
p	1.46	1.49	2.01%	1.48	1.48	0%	0.97	0.98	1.02%



Crystalline Structure of PPTA



c axis repeat- 12.98 Å

距離

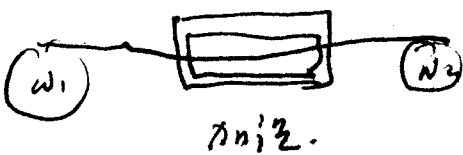
分子間距離を示す

<i>2) force field</i>	Simulated Structure I	Simulated Structure II	Experimental Data	Experimental Data
a(Å)	8.3	8.34	7.8	7.87
b(Å)	5	5.1	5.19	5.18
c(Å)	13.1	12.98	12.9	12.9
$\alpha$	90	90	90	90
$\beta$	90	90	90	90
$\gamma$	92	90	90	90
chain location	[0,0]; [1/2,1/2]	[0,0]; [1/2,1/2]	[0,0]; [1/2,1/2]	[0,0]; [1/2,1/2]
diacid ring rotation	-26	-33	~30	-30
dianamide ring rotation	43	37	~30	38
density(gm/cm <sup>3</sup> )	1.45	1.46	1.49	1.48
H-bond length(Å)	2.3	1.97		2.1
angle of N-H...O	160 °	173 °		160 °
posterior distance of N...O(Å)		2.93		3.04

Process involved to produce high strength fibers from the liquid crystalline state

- process dope into highly oriented state by elongational or shear flow
- coagulation process
- neutralization
- pick up the fiber
- post processing

the fiber is stretched by using different rotational speed



Kevlar (Kevlar. Kevlar).

Post processing 2.1.2. 2.1.2.

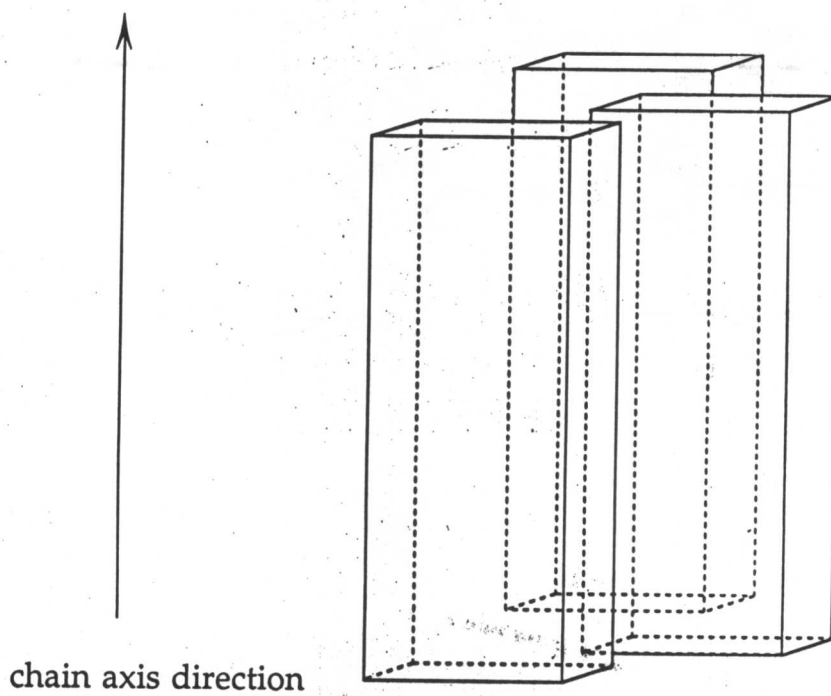
2.1.2.



The relative position of two rigid rod chains in the solid state

链段-3.共连向

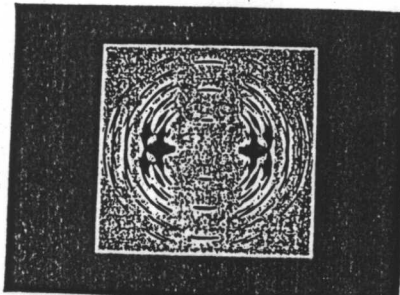
共3个.



接头-3.共连向  
共3个.

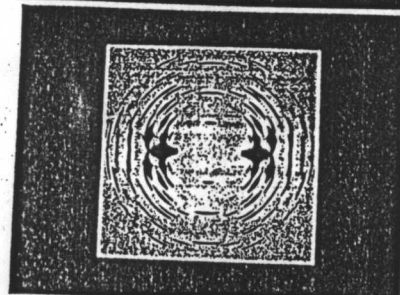
Calculated diffraction patterns for poly(p-phenyl terephthalate) fibers,  $\Delta\theta = 5^\circ$

two parallel chains

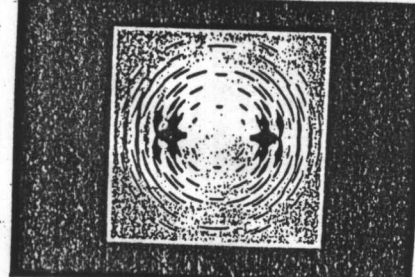


子午线变化

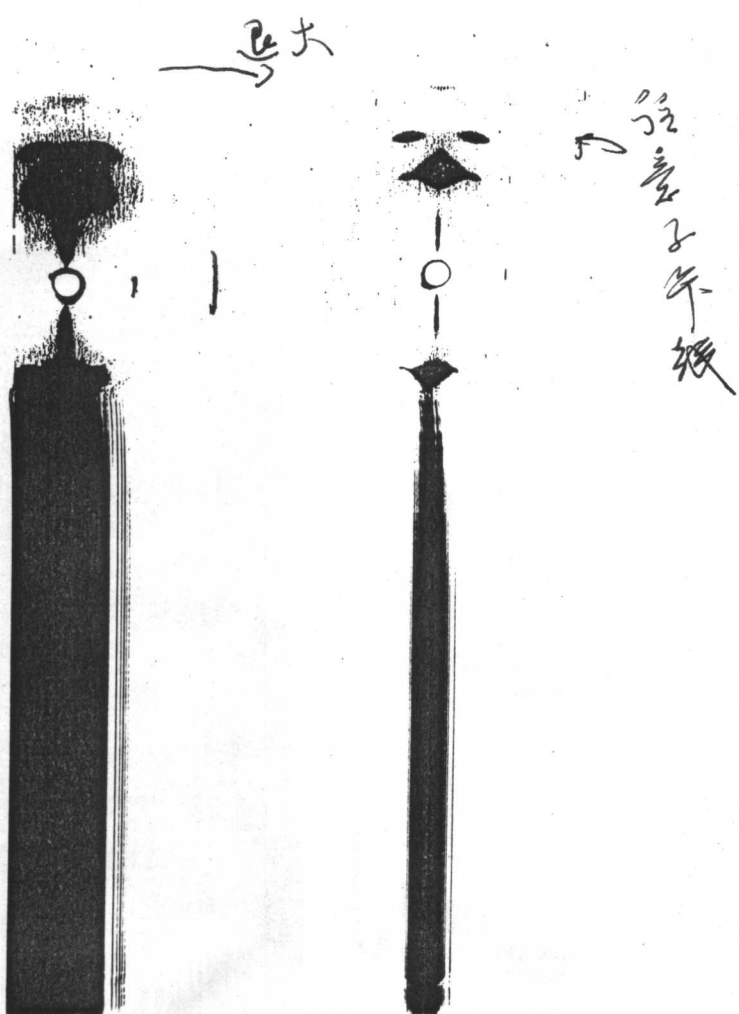
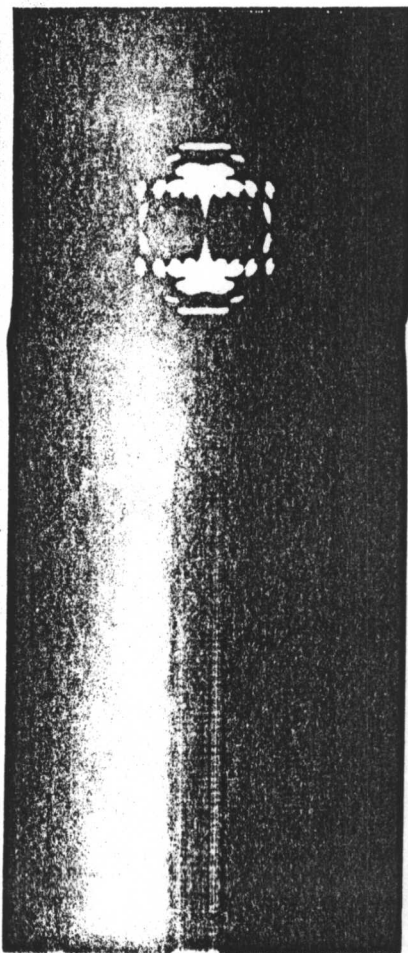
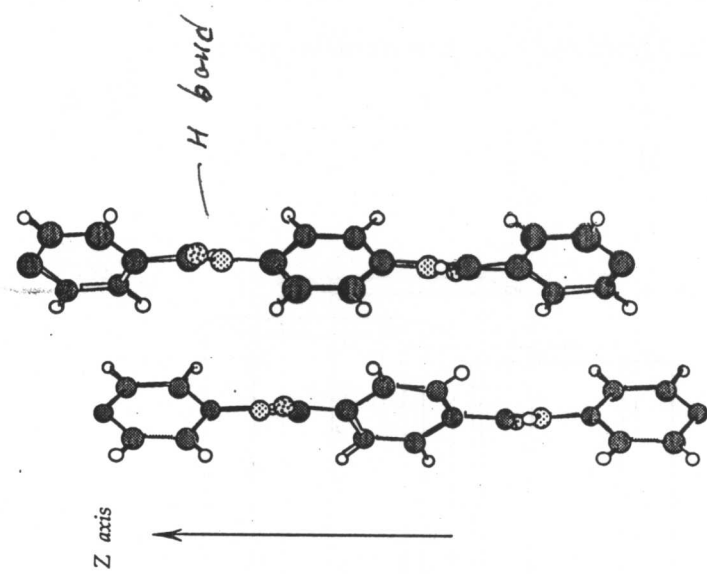
two chains shifted by 0.45 Å



two chains shifted by 1.80 Å



*Relative Placement of PPTA Chains in the Unit Cell*





## Prediction of Polymer Mechanical Properties

- Analyze stress-strain relationships
- Identify molecular deformation mechanisms
- Identify molecular relaxation mechanisms
- Understand the molecular parameters influencing chain microstructure (conformation, packing, etc.)
- Determine the ultimately achievable mechanical properties (for a perfect crystalline system)
- Study solid-solid phase transitions
- Study hysteresis cycles
- Study the orientational distribution function of chain segments as a function of strain
- Study temperature-induced structural fluctuations
- Predict thermal expansion coefficients

← 3/17/82

### Relationship between the Macroscopic Properties of Polymers and Microscopic Mechanisms

← deformation

Macroscopic Properties	Microscopic Mechanisms
modulus intra molecular interaction	bond stretching, angle bending, rotational freedom
thermal expansion coefficient	chain dynamics
linear-nonlinear limit	intermolecular interactions relaxation mechanisms
hysteresis, yield, creep	chain conformation chain dynamics unit cell geometry
cohesive strength	surface / interface
composite performance	local chain conformation
friction	orientation of chain or functional groups

## Calculation of Stress/Strain Relationship

*Stress-strain Curve for Syndiotactic Polystyrene*

$$\text{Modulus} = 115 \text{ GPa}$$

For every step we impose on the polymer system,  $\Delta l$ , calculate the change in the overall stress,  $\sigma$

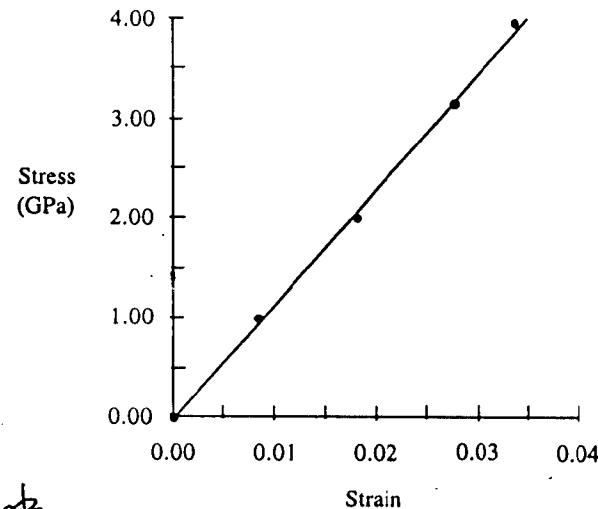
Separate the various contributions to the energy changes: (1)- Intramolecular - bond stretching, angle bending, torsional; (2)- Intermolecular - hydrogen bonding, dispersion forces, dipolar orientation, electrostatic

Calculate the energy barriers and differences to model irreversible behaviors.

Identify the separate molecular strains in terms of  $\Delta r$ 's,  $\Delta\phi$ 's,  $\Delta\tau$ 's:

$$\Delta l = \sum_i \frac{\partial l}{\partial r_i} \Delta r_i + \sum_j \frac{\partial l}{\partial \phi_j} \Delta \phi_j + \sum_k \frac{\partial l}{\partial \tau_k} \Delta \tau_k$$

/           ↓           ↓  
 bond      angle      rotation



University of Massachusetts at Amherst

*Ultimate Moduli Predicted for Different Forms of Polystyrene (GPa, along the chain)*

*deformation & rotation 能力*

	Syndiotactic $\pi$ Conf	Syndiotactic $\pi\pi\pi\pi$ Conf	Isotactic 3/1 Helix
Bulk	115.44	12.86	32.65
Single chain	99	<i>rotation 能力</i>	
Sound wave	69		

Syndiotactic  $\pi\pi\pi\pi$  conformation should make the strongest polymer

The modulus perpendicular to the chain for syndiotactic polystyrene  $\pi\pi\pi\pi$  conformation is much lower ~7 GPa



## Elastic constants (GPa) calculated for 3 model polymers

Vander Waals

Hydrogen H-bond

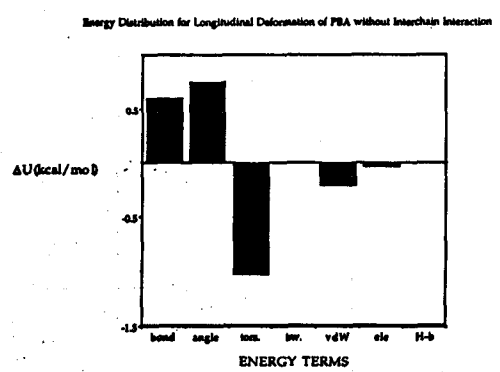
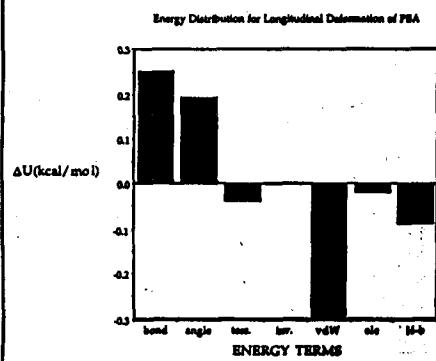
	PPTA	PBA	PE
Ex	14.9	12.8	10.7
Ey	80.1	6.8	8.4
Ez	335.7	322.3	297.5
Gyz	15.4	14	3.7
Gxz	0.7	0.9	1.5
Gxy	5.2	8.9	8.3
$\mu_{zy}$	0.199	0.259	0.215
$\mu_{zx}$	0.496	0.331	0.025
$\mu_{yx}$	0.717	0.872	0.472

Vanderwaals force  
bond  
PPTA P-E  
2 E<sub>x</sub> + 10% R-t

poster-h



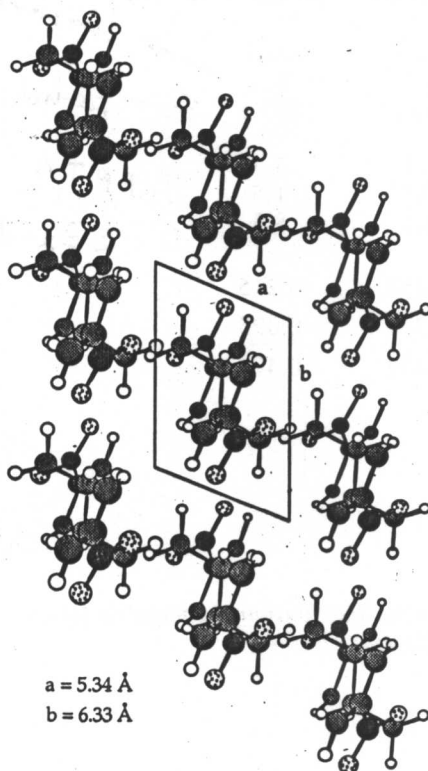
## Effects of having intermolecular interactions on the distribution of energetics terms to various coordinates



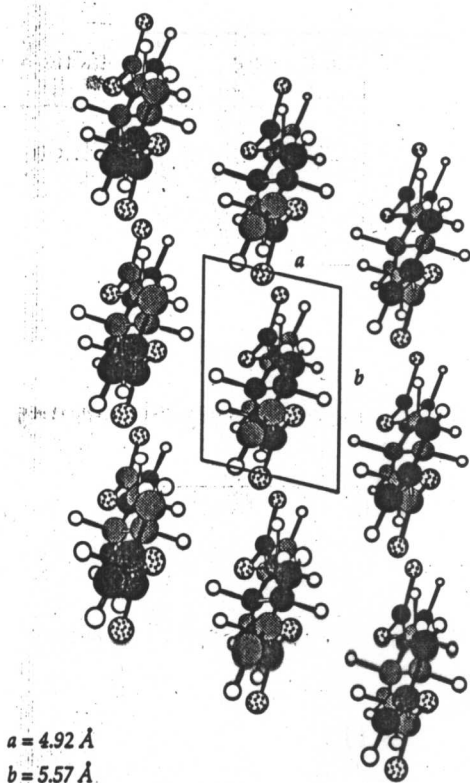
poster-h



Schematic Structure  
of  $\alpha$  Form Poly(butylene terephthalate)

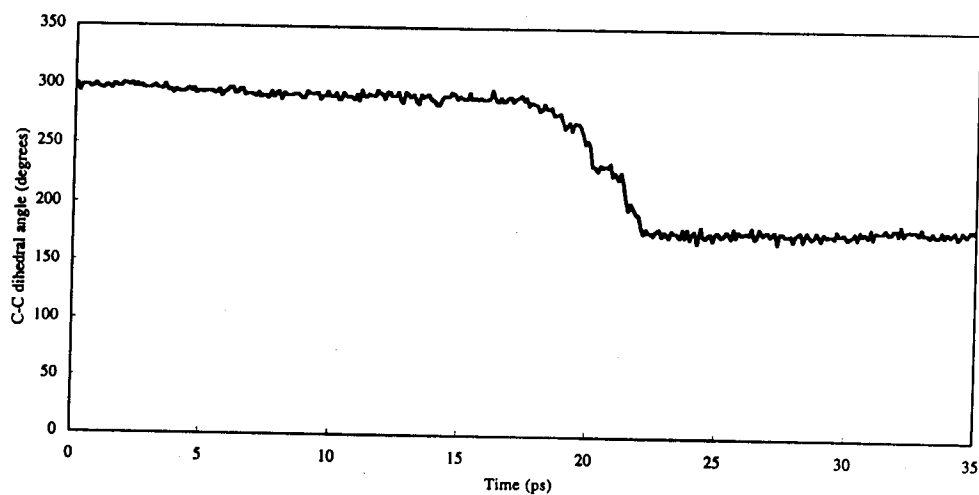


Schematic Structure of  $\beta$  form of  
Poly(butylene terephthalate)





*C-C Dihedral Angle*



*Change in crystalline repeat*

Transition Coordinate (averaged over structure)

